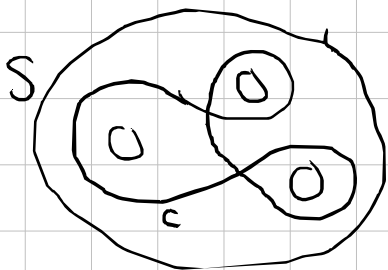


# Fonctions "volume" pour les courbes non simples

Type topologique local :  $S$  surface à bord remplie par une courbe fermée  $c$



- Courbe fermée  $\gamma$  dans  $S^g$ , type topologique local  $(S(\gamma), \gamma)$  où  $S(\gamma)$  surface remplie par  $\gamma$ .

$T = [S, c]$  type topologique local fixé

$(S, c)$  représentant fixé,  $g = g(S)$  genre

$n$  composantes de bord

$$|\chi_g| = 2g - 2 + n$$

On cherche à calculer des intégrales de la forme

$$\mathbb{E}_g^{\text{WP}} \left( \sum_{\substack{\gamma \in \mathcal{P}(X) \\ \gamma \in \mathcal{T}}} F(\ell_\gamma(\gamma)) \right)$$

où  $\text{supp } F \subset [0, L]$ ,  $L$  fixé ou  $L = L(g)$   
(typiquement  $L = A \log g$ )

$$\frac{1}{V_g} \mathbb{E}_g^{\text{WP}} \left( \sum_{\substack{\gamma \in \mathcal{P}(X) \\ \gamma \in \mathcal{T}}} F(\ell_\gamma(\gamma)) \right) =$$

$$= \sum_{\substack{R \text{ réel } \\ \text{de } \mathbb{S} \text{ dans } S^g}} \int_{\substack{\vec{x} = (x_1, \dots, x_n) \\ > 0}}$$

$$V_R(\vec{x}) \prod_{i=1}^n x_i dx_i$$



vol. de l'espace des modules  
sur  $S^g \setminus \mathbb{S}$ .

$$\times \int_{\mathcal{M}_{\vec{x}}(\mathbb{S})} \sum_{\substack{\gamma \in \mathcal{P}(\mathbb{S}) \\ \gamma \in \text{orb}(c)}} F(\ell_\gamma(\gamma)) du^{\text{WP}}(\gamma)$$

$$= \frac{1}{\pi(\tau)} \int_{\mathcal{T}_{\vec{x}}(\mathbb{S})} F(\ell_\gamma(c)) d\mu^{\text{WP}}(\gamma)$$

$$= \frac{1}{V_g} \int_0^{+\infty} F(\ell) \underbrace{V_g^T(L)}_{\text{densité}} d\ell$$

densité : fonction "volume" pour le type topologique local en genre  $g$ .

Lemme: Si  $\Omega \subset \mathbb{R}^d$  ouvert connexe,  $\lambda_\Omega =$  mesure de Lebesgue,  $v: \Omega \rightarrow \mathbb{R}^+$  continue,

$f: \Omega \rightarrow \mathbb{R}^+$  réelle analytique non constante.

On suppose  $\int_{[0,L]} (f(x) v(x) d\lambda(x) < \infty \forall L$ .

Alors l'image de  $v(x) d\lambda(x)$  par  $f$  admet une densité.

Dans notre cas,  $\Omega = \{ \vec{x} = (x_1, \dots, x_n), \gamma \in \mathcal{T}_{\vec{x}}(\mathcal{S}) \}$ ,  
 $f: (\vec{x}, \gamma) \mapsto \ell_\gamma(c)$ .

Bornes supérieures:

$$\begin{aligned} 1) \quad \prod x_i: \frac{V_R(\vec{x})}{V_g} &\leq \frac{V_R}{V_g} e^{\sum_{i=1}^n \frac{x_i}{2}} \\ &= \frac{V_R}{V_g} e^{\frac{\ell(\partial \mathcal{S})}{2}} \end{aligned}$$

$$2) \int d\bar{x} \mu^{WP}(\{\gamma: \ell_\gamma(c) \leq L\}) \leq O(L^{3/|\chi_S|})$$

On utilise le fait que si  $c$  remplit  $S$  et si  $\ell_\gamma(c) \leq L$ , alors on peut trouver des coordonnées de Fenchel-Nielsen  $\leq 5L + 100$

3) Pour toute surface hyperbolique  $X$ ,  
 $\#\{\gamma \text{ geod. fermée}, \ell_X(\gamma) \leq L\} \leq C |\chi(X)| e^L$   
 (cf Buser 2010)

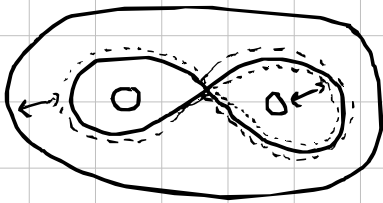
Par exemple,  $\left| \sum_{\gamma \in \mathcal{P}(X)} F(\ell_\gamma(\gamma)) \right| \leq \|F\|_\infty e^L$

4) Borne sur  $\sum x_i = \ell(\partial S)$

Lemme: Si  $c$  remplit  $S$  alors  $\forall \gamma \in \mathcal{T}_x(S)$ ,  
 $\sum x_i \leq 2\ell_\gamma(c)$ .

Preuve: pour chaque composante de bord on peut trouver une courbe dans la même classe d'homotopie libre qui est obtenue en concaténant des "portions simples" de  $c$ .

ex:



chacune portion simple apparaît au plus pour 2 composantes de bord. On conclut en utilisant le fait que les composantes de bord sont des géodésiques, donc minimisent la longueur.  $\square$

Propri Si  $F$  est à support dans  $[0, L]$ ,

$$a) \left| \int F(\ell) v_g^T(\ell) d\ell \right| = O\left(\frac{L^{3|\chi_S|}}{g^{|\chi_S|}} e^{2L} \|F\|_\infty\right)$$

(on utilise  $\frac{v_R}{v_g} = O\left(\frac{1}{g^{|\chi_S|}}\right)$ )

$$b) \text{ à } \int f(x) dx, \sum_{T \text{ qui remplissent } S} \left| \int F(\ell) v_g^T(\ell) d\ell \right|$$
$$= O\left(\frac{L^{3|\chi_S|} e^{2L} \|F\|_\infty}{g^{|\chi_S|}}\right)$$

## Optimisation de ces bornes

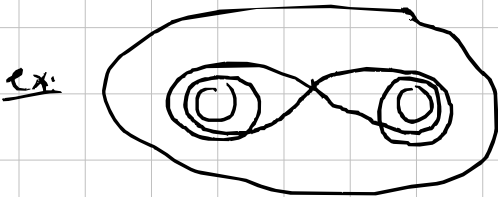
(utile seulement si  $L = L(g) \rightarrow \infty$ )

Borne 4: une portion simple de  $c$  est dite "essentielle" si elle n'est pas dans le bord d'une composante contractile de  $\mathcal{S} \setminus c$ .

on peut remplacer le lemme par

$$\sum x_i \leq l_Y(c) + \sum_{\substack{I \text{ portion} \\ \text{simple essentielle}}} l_Y(c)$$

Def:  $c$  remplit doublement  $\mathcal{S}$  si  $c$  n'a pas de portion simple essentielle.



$$\sum x_i \leq l_Y(c)$$

$$\begin{aligned} \sum_{\gamma \in \mathcal{B}(X)} F(l_Y(\gamma)) &\leq C(\chi(X)) \sum_{n=0}^{+\infty} \|F(x) e^{-x}\|_{L^\infty([n, n+1[L})} \\ &\leq C(\chi(X)) \|F(x) e^{-x}\|_{L^\infty} \times L \end{aligned}$$

(dans la dernière inégalité on a utilisé le fait que  $F$  est à support dans  $[0, L]$ )

### Borne de comptage de Wu-Xue

$\mathcal{S}$  surface à bord,  $\gamma$  métrique hyperbolique sur  $\mathcal{S}$  à bord géodésique.

$$\#\left\{ \gamma \text{ géod. périodiques, } \ell_\gamma(\gamma) \leq L \right\} \leq C(\varepsilon, \chi(\mathcal{S})) e^{L - (\frac{1}{2} - \varepsilon)\ell(\partial\mathcal{S})}$$

qui remplissent  $\mathcal{S}$

Ça donne les améliorations suivantes:

$$\left| \int F(\ell) v_g^T(\ell) d\ell \right| = O\left( \frac{L^{3|\chi_\mathcal{S}|+1} \|F(x) e^x\|_\infty}{g^{|\chi_\mathcal{S}|}} \right)$$

(et même  $\|F(x) e^{\frac{x}{2}}\|_\infty$  si  $\mathcal{C}$  remplit doublement  $\mathcal{S}$ ).

$$\sum_{\substack{T \text{ qui} \\ \text{remplit doublement} \\ \mathcal{S}}} \left| \int F(\ell) v_g^T(\ell) d\ell \right| = O_{\mathcal{S}} \left( \frac{L^{3|\chi_\mathcal{S}|} \|F(x) e^x\|_\infty e^{\varepsilon L}}{g^{|\chi_\mathcal{S}|}} \right)$$

## Développements asymptotiques

Mirzakhani-Zograf + Anantharaman-Monk:

$$\prod_{i=1}^n x_i \frac{V_R(\vec{x})}{V_g} = \sum_{k=|\chi_g|}^K \frac{f_k(\vec{x})}{g^k} + O\left(\frac{\|x\|^{3k+1} e^{\frac{\vec{x} \cdot \chi_i}{2}}}{g^{k+1}}\right)$$

Le terme dominant pour  $k=|\chi_g|$ ,  $f_k(\vec{x}) = e^{n \prod_{i=1}^n \sinh(\frac{x_i}{2})}$

Conséquence:

$$\int F(\ell) V_g^T(\ell) d\ell = \sum_{k=|\chi_g|}^K \frac{1}{g^k} \int F(\ell) c_k^T(\ell) d\ell + O\left(\frac{L^{3k+1+3|\chi_g|}}{g^{k+1}} \|F(x) e^x\|_\infty\right)$$

et  $c_k^T(\ell)$  est obtenu en remplaçant

$$\prod x_i \frac{V_R(\vec{x})}{V_g} \text{ par } f_k(\vec{x}) \text{ sous l'intégrale.}$$

→ on montrera que ce sont des fonctions de Friedman-Ramanujan



Prop: On fixe  $L, k$ .  $F = \mathbb{1}_{[0, L]}$

$$\begin{aligned} & \mathbb{E}_g^{\text{WP}} \left( \# \text{ géod. périodiques } \gamma \text{ de longueur } \leq L \right. \\ & \quad \left. \text{t.q. } |\chi(S(\gamma))| = k \right) \\ & = O \left( \frac{L^{3k} e^{(1+\varepsilon)L}}{g^k} \right) \end{aligned}$$

- $L$  fixé,  $k \gg 1$ : tend vers 0
- $L = A \log g$ ,  $k = \lfloor 2A \rfloor + 1$ : tend aussi vers 0.

Corollaire: pour ces choix de  $L$  et  $k$ ,  $\mathbb{P}(\exists \text{ une géod. } \gamma \text{ de longueur } \leq L \text{ t.q. } |\chi(S(\gamma))| \geq k) = O \left( \frac{L^{3k} e^{(1+\varepsilon)L}}{g^k} \right) \rightarrow 0$

Thm (Mirzakhani - Petri):  $a < b$ . orientées

$N_{[a, b]} = \text{nb de géod. périodiques primitives } \gamma \text{ t.q. } \ell(\gamma) \in [a, b]$

$$N_{[a, b]} \xrightarrow{(d)} \mathcal{P}(\mu_{[a, b]}), \text{ où } \mu_{[a, b]} = 4 \int_a^b \frac{\sinh^2\left(\frac{\ell}{2}\right)}{\ell} d\ell.$$

Preuve: méthode des moments factoriels

$$\pi^{(r)} = N(N-1)\dots(N-r+1)$$

Prop:  $\mathbb{E}[M^{(r)}] \xrightarrow{g \rightarrow \infty} \mu^r \quad \forall r$ , et  $\mu^r$  est le  $r$ -ème

moment factoriel de  $\mathcal{P}(\mu)$  (loi de Poisson)

$$\mathbb{E}_g^{WP}(M^{(r)}) = \mathbb{E}[\text{nb de } r\text{-uplets } (\gamma_1, \dots, \gamma_r) \text{ formés de géod. de longueurs dans } [a, b]]$$

$$= \mathbb{E}[\text{nb de } r\text{-uplets } (\gamma_1, \dots, \gamma_r) \text{ non séparants formés de géod. simples \& deux à deux disjointes}] + O\left(\frac{1}{g}\right).$$

$$= \int_{[a, b]} \prod_{i=1}^r \mathbb{1}(l_i) \underbrace{V_{g-r, 2r}(l_1, l_1, l_2, l_2, \dots, l_r, l_r) \prod_{i=1}^r l_i}_{V_g} dl_i + O\left(\frac{1}{g}\right)$$

$$= \int 2^{2r} \prod_{i=1}^r \left( \frac{\sinh\left(\frac{l_i}{2}\right)}{\frac{l_i}{2}} \right)^2 dl_i \quad (\text{Mirzakhani-Petri})$$

$$= \int 2^{2r} \prod_{i=1}^r \frac{\sinh^2\left(\frac{l_i}{2}\right)}{l_i} dl_i = \mu_{[a, b]}^r + O\left(\frac{1}{g}\right)$$

NB: estimée de Basmajian :

$$i(\gamma, \gamma) \leq 2e^{2\ell(\gamma)}$$

↑  
nb d'auto-intersections

→ Si  $\ell(\gamma) \leq b$ , on a un nb fini d'auto-intersections

Estimée de Mirzakhani sur la constante de Cheeger

$$X \text{ surface} \quad h(X) = \inf \left( \frac{\ell(E)}{\min(\text{Aire}(X_1), \text{Aire}(X_2))} \right)$$

ss-variété  $E$  compacte  
de dim 1  $\mathbb{C}^1$  par  
morceaux  $X$  tq  $X \setminus E = X_1 \cup X_2$

Note: on peut supposer  $X_1$  et  $X_2$  connexes.

Thm (Mirzakhani):  $\exists C > 0$  tq

$$P(h(X) \leq C) \xrightarrow{g \rightarrow \infty} 0$$

$$\text{et } \exists C', P_g^{\text{WP}}(\lambda_1(X) \leq C') \xrightarrow{g \rightarrow \infty} 0.$$

Cste de Cheeger géodésique

$H_i(X) = \hat{m}$  définition mais  $E$  est une réunion de géod. fermées simples et  $i = |\chi(X_i)| \leq |\chi(X_{i-1})|$  pour  $i \leq g-1$ .

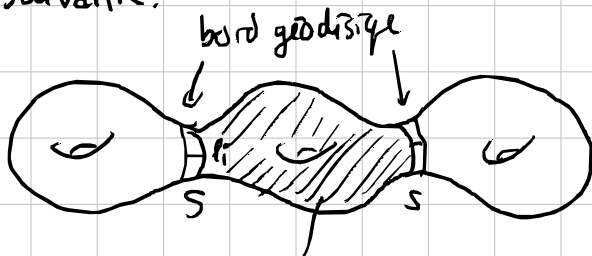
$$H(X) = \min_{i \leq g-1} (H_i(X)).$$

$$h(X) \leq H(X) \text{ et } h(X) \geq \frac{H(X)}{1+H(X)}$$

facile

csq de résultats de Hass-Morgan et Adams-Morgan

L'inf dans  $h(X)$  est atteint et le minimiseur a la forme suivante:



$$h(X) = \frac{\left(\sum l_i\right)^A \cosh(s)}{A + \left(\sum l_i\right) \sinh(s)} \geq \frac{H(X) \cosh(s)}{1 + H(X) \sinh(s)} \geq \frac{H(X)}{1 + H(X)}$$

Fixons  $i, k$  entiers.

$\mathbb{E}[\#\{(X_1, \dots, X_k) \text{ multi-géodésiques, } \sum \ell(\delta_i) \leq L, \text{ qui séparent } S^g \text{ en 2 morceaux } X_1 \text{ et } X_2 \text{ tq } |\chi(X_1)| = i \text{ et } |\chi(X_2)| = 2g - 2 - i\}] \xrightarrow{g \rightarrow \infty} 0$

(si  $L = Ci$  avec  $C$  petit).

$X_1$  a genre  $g_1$ ,  $k$  composantes de bord  
 $X_2$  a genre  $g_2$ ,  $k$  composantes de bord

$$\rightarrow 2g_1 - 2 + k = i, \quad 2g_2 - 2 + k = 2g - 2 - i$$

$$k \leq i + 2$$

$$\mathbb{E}[\dots] = \frac{1}{V_g} \frac{1}{k!} \int_{\sum \ell_i \leq L} V_{g_1, k}(\ell_1, \dots, \ell_k) V_{g_2, k}(\ell_1, \dots, \ell_k) \prod_{i=1}^k \ell_i d\ell_i$$

$$\leq \frac{V_{g_1, k} V_{g_2, k}}{V_g k!} \int_{\sum \ell_i \leq L} e^{-\sum \ell_i} d\ell_i$$

$$\leq \frac{V_{g_1, k} V_{g_2, k}}{V_g} e^{-L} \frac{L^k}{k!}$$

$$V_{g_1, k} \leq W_i$$

$$W_r = V_{\frac{r}{2}, 1, 0} \text{ ou } V_{\frac{r+1}{2}, 1}$$

$$W_r \sim r^r \times \text{exponentielle}$$

IP( $\exists i \leq g-1$ ,  $\exists$  multigrad. de longueur  $\leq C_i$  qui sépare en 2 morceaux de caract. d'Euler  $-i$  et  $i-2g+2$ )

$$\leq \sum_{i=1}^{g-1} e^{2C_i} \frac{W_i W_{2g-2-i}}{W_{2g-2}}$$

$$= \frac{i^i (2g-2-i)^{2g-2-i}}{(2g-2)^{2g-2}}$$

Pour  $x \in [0, 1)$ , entropie  $\text{Ent}(x) = -x \ln(x) - (1-x) \ln(1-x)$

$$\rightarrow \text{IP}(\exists i, \exists \text{ multigrad. } \dots) \leq \sum_{i=1}^{g-1} e^{2C_i} e^{-(2g-2)\text{Ent}\left(\frac{i}{2g-2}\right)}$$

$$= \sum_{i=1}^{g-1} \exp\left((2g-2) \left[ C \frac{i}{2g-2} - \text{Ent}\left(\frac{i}{2g-2}\right) \right]\right)$$

Si  $C=0$  c'est le terme  $i=1$  qui donne la contrib. dominante

$\rightarrow$  reste vrai si  $C$  est assez petit.